



深蓝学院
shenlanxueyuan.com

视觉SLAM基础与VIO进阶

第十章作业分享



主讲人 方块块块



●视觉与IMU进行融合之后有何优势？

这一问题高博在视频中讲解的很清楚，在视频中的对比如下图所示：

IMU 与视觉定位方案优势与劣势对比：

方案	IMU	视觉
优势	快速响应 不受成像质量影响 角速度普遍比较准确 可估计绝对尺度	不产生漂移 直接测量旋转与平移
劣势	存在零偏 低精度 IMU 积分位姿发散 高精度价格昂贵	受图像遮挡、运动物体干扰 单目视觉无法测量尺度 单目纯旋转运动无法估计 快速运动时易丢失

●视觉与IMU进行融合之后有何优势？

而在论文中也有类似叙述该结论的部分，如下：

(IMU) sensor. These sensors are made available nowadays with high accuracy, miniaturised size, and low cost because of the fast-developing manufacturing of chips and micro-electromechanical systems (MEMS) devices. And they are complimentary with one another in a way which would be able to compensate for the errors made by each of them via the redundant information they provided. Furthermore, the

由于芯片和微电子机械系统(MEMS)设备的快速发展，IMC现在能以高精度、小型化和低成本提供。他们(视觉与IMU)是相互互补的，能够通过他们提供的冗余信息来弥补各自的不足。

●视觉与IMU进行融合之后有何优势？

综上所述，视觉和 IMU 在很大程度上是互补的，他们能够互相弥补各自的短板，IMU 响应速度快，一般都大于 100Hz，且不受太多其他环境因素的影响，但会存在零偏。而视觉 不怎么会产生漂移，但缺点比如受图像质量、环境影响，而且单目时无法测量绝对尺度，快速运动时也很容易出问题。它们二者提供的冗余信息可以弥补各自的不足。

- 有哪些常见的视觉+IMU 融合方案？有没有工业界应用的例子？

在“Visual and Visual-Inertial SLAM: State of the Art, Classification, and Experimental Benchmarking”一文中对今年来的vSLAM和viSLAM做出一些比较分类。分类上可以分为紧耦合和松耦合的方法，表格还列出了他们视觉部分采用的相机种类（单目？双目？），以及基于滤波的角度还是基于优化的角度。

（实际上我在做作业的时候貌似参考的是另一篇只有viSLAM总结而没有vSLAM的文献，但分享的时候没有找到。。也说明做好标注来源的重要性，如果同学知道还请分享。。。）

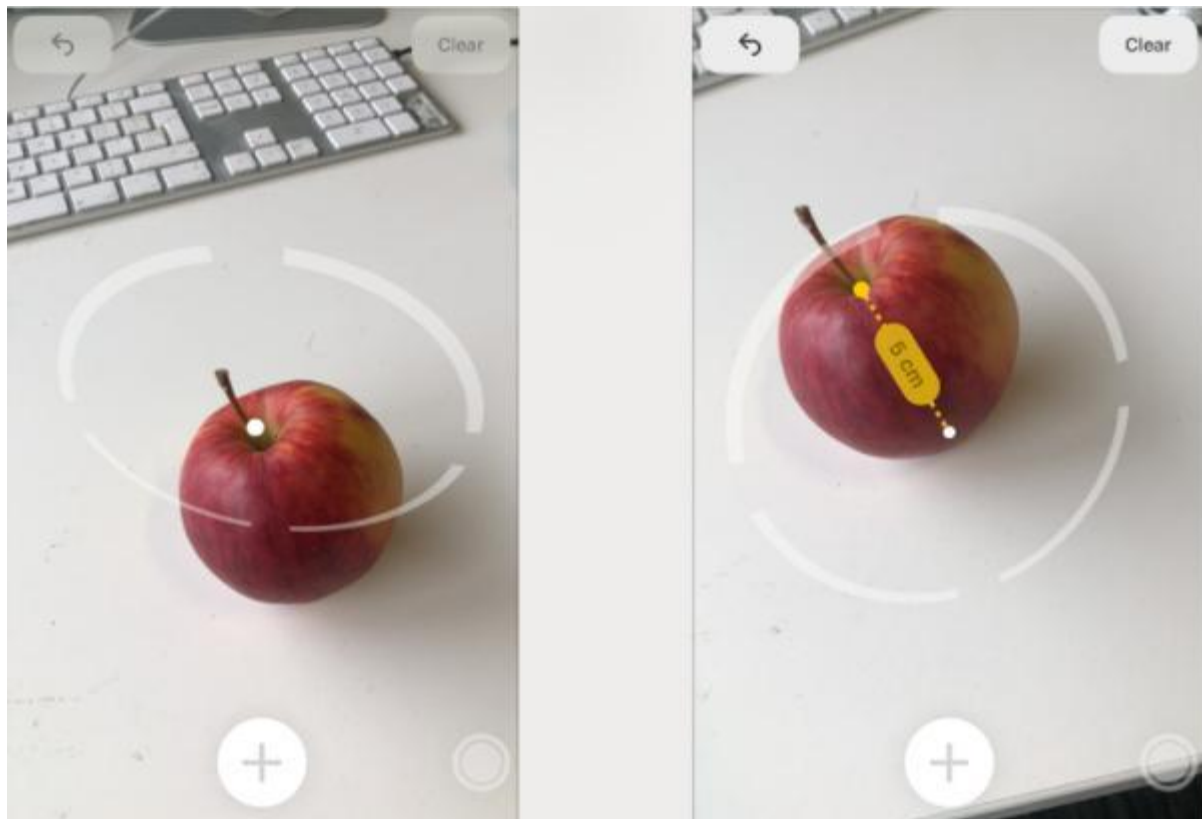
Algorithm map gestion	Hardware requirements				Approach		Input treatment		Localis./Mapping			Memory loop
	Monoc.	Stereo	Depth	IMU	Filter	Optim.	Direct	Indir.	2D-2D	3D-2D	IMU	closure
MonoSLAM [21]	X				X	Sparse		X		X		
Monocular FastSLAM [22]	X				X	Sparse		X		X		
PTAM [27]	X					X Sparse		X		X		
PTAM with edgelets [65]	X					X Sparse		X		X		
PTAM with DWO [79]	X					X Sparse		X		X		X
Stereo PTAM [78]		X				X Sparse		X	X	X		X
CD-SLAM [80]	X					X Sparse		X		X		X
ORB-SLAM [37]	X					X Sparse		X	X	X		X
ORB-SLAM2 [76]	X	(X)	(X)			X Sparse		X	X	X		X
Edge-SLAM [81]	X					X Sparse		X	X	X		X
DTAM [34]	X					X Dense	X		(X)	X		
MobileFusion [66]				(X)		X Dense	X			X	(X)	X
Semidense visual odom. [5]	X					X Semidense	X		X			X
LSD-SLAM [35]	X					X Semidense	X		X			X
Semidirect VO (SVO) [67]	X					X Sparse	X	X	X	X		X
Direct sparse odom. (DSO) [33]	X					X Sparse	X		X			X
KinectFusion [68]			X			X Dense	X			X		
Kintinuous [82]	(X)		X			X Dense	X			X		X
DVO SLAM [69]	X		X			X Dense	X		X			X
ElasticFusion [70]	X		X			X Dense	X			X		X
MSCKF [25]	X			X	X	None		X		X	X	X
MSCKF 2.0 [45]	X			X	X	None		X		X	X	X
ROVIO [26]	X	(X)		X	X	None	X	X	X		X	X
OKVIS [73]	(X)	X		X		X Sparse		X	X	X	X	X
S-MSCKF [17]		X		X	X	None		X		X	X	X
Vins-Mono [74]	X			X	X	Sparse		X		X	X	X
Kimera [60]	(X)	X		X	X	X Dense		X	X	X	X	X
SOFT-SLAM [72]		X		(X)		X Dense		X	X	X	(X)	X
STCM-SLAM [77]		X		X		X Sparse		X		X	X	X
VIO RB [75]	X			X		X Sparse		X	X	X		X

- 有哪些常见的视觉+IMU 融合方案？有没有工业界应用的例子？

关于工业界应用的例子，广范来讲，应用在AR领域、无人机领域、自动驾驶和室内机器人等方向，包括大疆的无人机，谷歌的Tango和ARcore，百度的DuMix AR，苹果的ARKit等。

后面三个都是各家公司推出的AR开发平台，这里有一个例子，苹果在IOS12推出了一款使用ARKit开发的APP“Measure”，能够实现基于AR的测量工作。

VIO文献阅读



- 学术界的VIO研究有哪些新进展？有没有将学习方法用到其中的例子？

我参考了知乎大佬在19年的一份总结：<https://zhuanlan.zhihu.com/p/68627439>

还是相对比较全面的，除了文章题目还给出了一些大致的内容总结和开源地址，和助教分享的几篇也有不小的重合度。

四元数和李代数更新

四元数和李代数更新

课件提到了可以使用四元数或旋转矩阵存储旋转变量。当我们用计算出来的 ω 对某旋转更新时，有两种不同方式：

$$\begin{aligned} R &\leftarrow R \exp(\omega^\wedge) \\ \text{或 } q &\leftarrow q \otimes \left[1, \frac{1}{2}\omega\right]^\top \end{aligned} \quad (20)$$

请编程验证对于小量 $\omega = [0.01, 0.02, 0.03]^\top$ ，两种方法得到的结果非常接近，实践当中可视为等同。因此，在后文提到旋转时，我们并不刻意区分旋转本身是 q 还是 R ，也不区分其更新方式为上式的哪一种。

```
cmake_minimum_required(VERSION 3.10)
project(verify)

# Eigen
include_directories("/usr/local/include/eigen3")

# Sophus
find_package(Sophus REQUIRED)
include_directories(${Sophus_INCLUDE_DIRS})

add_executable(verify verify.cpp)
target_link_libraries(verify Sophus::Sophus fmt)
```

```
#include <iostream>
#include <Eigen3/Eigen/Core>
#include <Eigen3/Eigen/Geometry>
#include <sophus/so3.hpp>
#include <sophus/se3.hpp>

using namespace std;
using namespace Eigen;
using namespace Sophus;

int main() {
    // 定义旋转矩阵与四元数
    AngleAxisd rotation_vector(M_PI/4, Vector3d(0,0,1));
    Matrix3d R = rotation_vector.toRotationMatrix();

    Quaterniond q = Quaterniond(R);
    cout << "初始旋转矩阵: " << endl << R << endl;
    cout << "初始四元数: " << endl << q.coeffs() << endl;

    // w ---- 微小角速度
    Vector3d w(0.01,0.02,0.03);

    // 第一种方式
    S03d S03_R(R);
    S03d S03_new = S03_R * S03d::exp(w);
    cout<<"第一种方法的结果: "<< endl << S03_new.matrix() <<endl;

    // 第二种方式
    Eigen::Quaterniond q_w(1,w(0)/2,w(1)/2,w(2)/2);
    Eigen::Quaterniond q_new = q*q_w;
    q_new = q_new.normalized();
    cout << "第二种方法的结果: " << endl << q_new.toRotationMatrix() << endl;

    return 0;
}
```

四元数和李代数更新

2. 四元数和李代数更新

课件提到了可以使用四元数或旋转矩阵存储旋转变量。当我们用计算出来的 ω 对某旋转更新时，有两种不同方式：

$$\begin{aligned} \mathbf{R} &\leftarrow \mathbf{R} \exp(\omega^\wedge) \\ \text{或 } \mathbf{q} &\leftarrow \mathbf{q} \otimes \left[1, \frac{1}{2}\omega\right]^\top \end{aligned} \quad (20)$$

请编程验证对于小量 $\omega = [0.01, 0.02, 0.03]^\top$ ，两种方法得到的结果非常接近，实践当中可视为等同。因此，在后文提到旋转时，我们并不刻意区分旋转本身是 \mathbf{q} 还是 \mathbf{R} ，也不区分其更新方式为上式的哪一种。

初始旋转矩阵：

```
0.707107 -0.707107 0
0.707107 0.707107 0
0 0 1
```

初始四元数：

```
0
0
0.382683
0.92388
```

第一种方法的结果：

```
0.685368 -0.727891 0.0211022
0.727926 0.685616 0.00738758
-0.0198454 0.0102976 0.99975
```

第二种方法的结果：

```
0.685371 -0.727888 0.0210998
0.727924 0.685618 0.00738668
-0.0198431 0.0102964 0.99975
```

*** Finished ***

右乘模型

3. 使用右乘 so(3), 推导以下导数: $\frac{d(R^T p)}{dR}$, $\frac{d \ln(R_1 R_2^{-1})^V}{dR_2}$

解: 已知旋转点的扰动动雅可比:

$$\begin{aligned} \frac{\partial (Rp)}{\partial \phi} &= \lim_{\phi \rightarrow 0} \frac{R \exp(\phi^\wedge) p - Rp}{\phi} \\ &= \lim_{\phi \rightarrow 0} \frac{R(I + \phi^\wedge) p - Rp}{\phi} \\ &= \lim_{\phi \rightarrow 0} \frac{R \phi^\wedge p}{\phi} = \lim_{\phi \rightarrow 0} \frac{-Rp^\wedge \phi}{\phi} \\ &= -Rp^\wedge \end{aligned}$$

$$\begin{aligned} \text{则 } \frac{d(R^T p)}{dR} &= \frac{\partial (R^T p)}{\partial \phi} \\ &= \lim_{\phi \rightarrow 0} \frac{[R \exp(\phi^\wedge)]^T p - R^T p}{\phi} \\ &= \lim_{\phi \rightarrow 0} \frac{\exp(\phi^\wedge)^T R^T p - R^T p}{\phi} \\ &= \lim_{\phi \rightarrow 0} \frac{[I - \phi^\wedge - I] R^T p}{\phi} \\ &= \lim_{\phi \rightarrow 0} \frac{(R^T p)^\wedge \phi}{\phi} = (R^T p)^\wedge \end{aligned}$$

$$\begin{aligned} \frac{d \ln(R_1 R_2^{-1})^V}{dR_2} &= \lim_{\phi \rightarrow 0} \frac{\ln[R_1 (R_2 \exp(\phi^\wedge))^{-1}]^V - \ln(R_1 R_2^{-1})^V}{\phi} \\ &= \lim_{\phi \rightarrow 0} \frac{\ln[R_1 \exp(\phi^\wedge)^T R_2^{-1}]^V - \ln(R_1 R_2^{-1})^V}{\phi} \quad [\text{需要 } \ln[R_1 R_2^{-1} \dots I]^V] \\ &= \lim_{\phi \rightarrow 0} \frac{\ln[R_1 R_2^{-1} R_2 \exp(\phi^\wedge)^T R_2^{-1}]^V - \ln(R_1 R_2^{-1})^V}{\phi} \\ &= \lim_{\phi \rightarrow 0} \frac{\ln[R_1 R_2^{-1} R_2 \exp(-\phi^\wedge) R_2^{-1}]^V - \ln(R_1 R_2^{-1})^V}{\phi} \quad [\text{对称矩阵} \quad a' = R^T a = R^T a] \\ &\because \text{SO(3) 伴随性质, 即 } R \exp(\phi^\wedge) R^T = \exp((R\phi)^\wedge) \\ \therefore \frac{d \ln(R_1 R_2^{-1})^V}{dR_2} &= \lim_{\phi \rightarrow 0} \frac{\ln[R_1 R_2^{-1} \exp((-R_2 \phi)^\wedge)]^V - \ln(R_1 R_2^{-1})^V}{\phi} \\ &= \lim_{\phi \rightarrow 0} \frac{J_r^{-1}(\ln(R_1 R_2^{-1})^V) (-R_2 \phi)}{\phi} \\ &= -J_r^{-1}(\ln(R_1 R_2^{-1})^V) R_2 \end{aligned}$$

感谢各位聆听 !
Thanks for Listening

